



دانشگاه گنبد کاووس

نشریه "حفاظت زیست بوم گیاهان"

دوره سوم، شماره هفتم، پاییز و زمستان ۹۴

<http://pec.gonbad.ac.ir>

مطالعه شاخص‌های اکولوژیکی گندم در زیست بوم زراعی

حوا میرزاده^۱، عباس بیابانی^{۲*}، علی راحمی کاریزکی^۳، حسینعلی فلاح^۴

^۱ دانشجوی سابق کارشناسی ارشد آگرواکولوژی دانشگاه گنبد کاووس، ^۲ دانشیار گروه تولیدات گیاهی، دانشگاه گنبد کاووس،

^۳ استادیار گروه تولیدات گیاهی، دانشگاه گنبد کاووس، ^۴ استادیار پژوهشی مرکز تحقیقات و آموزش کشاورزی و منابع

طبیعی گلستان

تاریخ دریافت: ۹۳/۱۱/۱۰؛ تاریخ پذیرش: ۹۴/۵/۲۳

چکیده

به منظور بررسی اثر تراکم بوته و جهت کاشت بر دریافت و استفاده از تشعشع نور خورشید در دو ژنوتیپ گندم آزمایشی در سال زراعی ۹۱-۱۳۹۰ در مزرعه تحقیقاتی دانشکده کشاورزی دانشگاه گنبد کاووس انجام شد. این آزمایش به صورت فاکتوریل در قالب طرح بلوک‌های کامل تصادفی با سه تکرار اجرا شد. عامل‌های مورد مطالعه شامل جهت کاشت (شمالی - جنوبی، شرقی - غربی، شمال شرقی - جنوب غربی و شمال غربی - جنوب شرقی)، تراکم بوته (۲۵۰ (کم)، ۳۰۰ (متوسط) و ۳۵۰ (زیاد) بوته در متر مربع) و دو ژنوتیپ گندم (رقم کوه‌دشت و لاین ۱۷) بودند. نتایج به دست آمده از تجزیه واریانس داده‌ها نشان داد که تمام شاخص‌های اکولوژیکی مورد بررسی (شاخص سطح برگ، ماده خشک تجمعی ضریب خاموشی و کارایی مصرف نور) تحت تأثیر اثر متقابل تراکم بوته و جهت کاشت قرار گرفتند؛ این در حالی است که بین این دو ژنوتیپ تفاوت معنی‌داری مشاهده نشد. با افزایش تراکم شاخص سطح برگ (LAI) و حداکثر تجمع ماده خشک، افزایش پیدا کرد به گونه‌ای که تراکم زیاد در جهت کاشت شرقی - غربی بیشترین شاخص سطح برگ (۸/۳۳) و ماده خشک تجمعی (۲۲۹۴±۳۵۷/۳ گرم بر مترمربع) را داشتند. ضریب خاموشی در تراکم متوسط و زیاد تحت تأثیر جهت کاشت قرار گرفت و در تراکم کم اختلاف معنی‌داری بین جهت‌های کاشت مشاهده نشد. متوسط ضریب خاموشی در این آزمایش ۰/۶۳ محاسبه شد. کارایی مصرف نور نیز تحت تأثیر اثر متقابل تراکم و جهت کاشت قرار گرفت. با افزایش تراکم کارایی مصرف نور افزایش یافت. جهت شرقی - غربی و تراکم زیاد بیشترین مقدار را نشان داد.

واژه‌های کلیدی: تراکم، جهت کاشت، رقم، دریافت تشعشع، گندم.

* نویسنده مسؤول: abs346@yahoo.com

مقدمه

گندم در قرن حاضر یکی از راهبردی ترین گیاهان زراعی به حساب می آید، چنانچه تولید گندم افزایش یابد کمبود مواد غذایی می تواند رفع شود. گندم به عنوان عمده ترین محصول زراعی ایران به طور متوسط سطحی معادل ۷ میلیون و ۳۵ هزار هکتار از اراضی کشور را به خود اختصاص داده است. سطح زیر کشت گندم در جهان ۲۱۷ میلیون و ۲۱۹ هزار هکتار است. میانگین تولید گندم کشور حدود ۱۵ میلیون و ۲۹ هزار تن در سال ۱۳۹۰ بود (Food and agriculture organization, 2012).

تجزیه و تحلیل شاخص های رشد به منظور تفسیر چگونگی واکنش گونه های گیاهی به شرایط محیطی اهمیت زیادی دارد؛ در این راستا شاخص سطح برگ یکی از معیارهای اساسی و مهم در تعیین قدرت فتوسنتزی گیاه محسوب می گردد. یکی از شاخص های مهم اکولوژیک، که به عنوان یک متغیر کلیدی در فرآیندهای بیولوژیک گیاهان محسوب می شود سطح برگ است (Eriksson *et al.*, 2005).

شاخص سطح برگ معمولاً بر اساس تعداد بوته در واحد سطح زمین، تعداد برگ در بوته و سطح توسعه برگ ها در بوته تعیین می شود که این به نوبه خود، میزان جذب تشعشع خورشیدی توسط گیاه را مشخص می کند (Zhang *et al.*, 2008). شاخص سطح برگ گندم در طی دوره رشد افزایش می یابد و در مرحله گلدهی به بیشترین مقدار خود می رسد سپس به دلیل پیری و زرد شدن برگ های پایینی و فرآیند انتقال مجدد مواد فتوسنتزی به بخش های زایشی گیاه کاهش می یابد (سعادتیان و همکاران، ۱۳۹۰). در مراحل اولیه رشد، جذب و دریافت نور تا حد زیادی به سرعت گسترش برگ ها بستگی دارد علاوه بر این، اندازه و دوام سطح برگ، سرعت و طول مدت تجمع ماده خشک در گیاه را تعیین می کند (Carretero *et al.*, 2010). مطالعه رشد و تجمع ماده ی خشک در گیاهان زراعی مختلف نشان داده است که تولید ماده ی خشک به شاخص سطح برگ و مقدار تشعشع دریافت شده در طول دوره رشد و کارایی گیاه در تبدیل تشعشع دریافت شده وابسته است (Yano *et al.*, 2007). عملکرد کل ماده خشک که نشان دهنده بهره گیری جامعه گیاهی از تشعشع نور خورشید در طی فصل رشد می باشد در ارتباط با نفوذ و جذب نور است که این عوامل خود به تراکم و جهت کاشت بستگی دارند (ناصر علوی، ۱۳۸۱). در بسیاری از مدل های شبیه سازی گیاهان زراعی تخمین تولید روزانه بیوماس (ماده خشک) به صورت حاصل ضرب تشعشع خورشیدی حادث شده (مگاژول بر مترمربع بر روز)، کسر تشعشع دریافت شده توسط محصول و کارایی تبدیل تشعشع دریافت شده به بیوماس (گرم بر مگاژول) یا کارایی استفاده از تشعشع (RUE)^۱ محاسبه می شود.

1- Radiation Use Efficiency

کسر تشعشع دریافت شده از شاخص سطح برگ (LAI)^۱ و ضریب خاموشی سایه‌انداز تاج پوشش (K)^۲ تعیین می‌شود (Sinclair, 1986; Hammer *et al.*, 1995; Robertson *et al.*, 2002). ضریب خاموشی (K) را می‌توان به صورت مساحت سایه ایجاد شده توسط برگ به مساحت خود برگ تفسیر کرد. برای یک برگ افقی که روی سطح خاک سایه انداخته است، صرف نظر از این که نور از چه جهتی بتابد، مقدار K برابر یک می‌باشد. در وضعیت‌هایی که برگ افقی نباشد، سایه ایجاد شده توسط برگ روی زمین برابر با مساحت خود برگ نخواهد بود، بلکه متناسب با آن است. بنابراین مقدار K را می‌توان به عنوان فاکتور تناسب در نظر گرفت که به جهت تشعشع رسیده و زاویه قرارگیری برگ بستگی دارد (Soltani, 2005). زند و همکاران (زند و همکاران، ۱۳۸۱) متوسط ضریب خاموشی (K) برای ارقام جدید و قدیم پلتونن ساینیو (Muurinen and Peltonen-Sainio, 2006) در طی دو سال زراعی ۲۰۰۲ و ۲۰۰۳ بر روی گندم انجام دادند بیان داشتند که ضریب خاموشی بسته به سال متفاوت است به نحوی که متوسط K_{PAR} برای ارقام گندم در سال ۲۰۰۲ بین ۰/۷۹-۰/۶۲ و در سال ۲۰۰۳، ۰/۷۷-۰/۶۹ بود.

در شرایط مطلوب زراعی یک رابطه خطی بین ماده خشک تجمعی و تشعشع دریافت شده وجود دارد که شیب این رابطه خطی، کارایی مصرف نور (RUE) می‌باشد (Zhang *et al.*, 2009). لی و همکاران (Li *et al.*, 2012) طی مطالعه‌ای بر روی برنج گزارش کردند که همبستگی مثبتی بین کارایی مصرف نور و میزان تابش اشعه خورشیدی وجود دارد و تحت تیمارهای مختلف نوری میزان RUE بسیار متفاوت است. اگر تشعشع بالای کانوپی عمدتاً از نوع پراکنده باشد راندمان مصرف نور کانوپی بالاتر است این به دلیل این است که نور پراکنده، یکنواختی و توزیع کارآمدتری بر روی برگ‌های بالغ کانوپی دارد. زمانی که پرتواندازی بر روی کانوپی از نوع پراکنده باشد معمولاً میزان تشعشع کم است لذا، کمیت نور نفوذ کرده با وجود بالا بودن راندمان مصرف نور، کم است. در اکثر موارد عامل غالب مؤثر بر راندمان مصرف نور، میزان تشعشع پراکنده است (Sedigh and benayan, 1995). از لحاظ تئوریک، در روزهای ابری نسبت به روزهای آفتابی مقدار RUE حدود ۰/۴ گرم بر مگاژول افزایش نشان می‌دهد (Sinclair and Muchow, 1999). استرلینگ (Stirling *et al.*, 1990) در آزمایشی با قرار دادن شاخه‌های بامبو در روی کرت‌های بادام زمینی در طول مراحل زایشی این گیاه حدود ۷۵ درصد سایه ایجاد کرد و مشاهده کرد که تیمار سایه باعث افزایش مقدار RUE از ۰/۹۳ در تیمار شاهد به ۲/۳۶ گرم بر مگاژول تشعشع دریافت شده در تیمارهای قرار گرفته در سایه شد. رودورف و همکاران (Rudorff *et al.*, 1996) میزان RUE را برای گندم‌هایی که در اتاقک‌های رشد روباز رشد کرده بودند

1- Leaf Area Index

2- Canopy extinction coefficient

۱/۷۱ بدست آوردند که از مقادیر گزارش شده برای گندم در شرایط مزرعه بالاتر بود. پادان و همکاران (Pathan *et al.*, 2005) با مطالعه تأثیر جهت کاشت بر روی گندم بیان داشتند که در جهت شرقی- غربی تشعشع دریافتی ۴۵-۵۸ درصد بیشتر از سایر جهات بود که این امر به دلیل سطح برگ بیشتر در این جهت بود. برای محاسبه تشعشع فعال خورشیدی دریافت شده روزانه از برنامه RLY- calc استفاده شد (سلطانی و مداح، ۱۳۸۹). این برنامه از چهار صفحه جداگانه تشکیل شده است. برای راه اندازی این برنامه و محاسبه مقادیر روزانه شاخص سطح برگ و تشعشع فعال فتوسنتزی دریافت شده روزانه و فصلی به مقادیر شاخص سطح برگ اندازه گیری شده در زمان های متعدد در طول فصل رشد و آمار هواشناسی احتیاج می باشد.

این تحقیق با هدف بررسی شاخص های اکولوژیکی گندم از جمله شاخص سطح برگ، تشعشع جذب شده، کارایی مصرف نور و ضریب خاموشی نور و نقش هر کدام از این عوامل تعیین کننده عملکرد در تعیین مقدار بیوماس انجام شد.

مواد و روش ها

این آزمایش در سال زراعی ۹۱-۱۳۹۰ در مزرعه تحقیقاتی دانشکده کشاورزی دانشگاه گنبد کاووس واقع در عرض جغرافیایی ۳۷ درجه و ۱۶ دقیقه شمالی، طول جغرافیایی ۵۵ درجه و ۱۲ دقیقه شرقی، ارتفاع ۴۵ متر از سطح دریا و متوسط بارندگی سالانه ۴۲۸ میلی متر اجرا شد. بافت خاک سیلت لوم رسی بود. آزمایش به صورت فاکتوریل در قالب طرح پایه بلوک های کامل تصادفی در سه تکرار اجرا شد. تیمارهای آزمایش شامل دو ژنوتیپ گندم (رقم کوهدشت و لاین ۱۷)، چهار جهت کاشت شمالی- جنوبی (N-S)^۱، شرقی- غربی (E-W)^۲، شمال شرقی- جنوب غربی (NE-SW)^۳ و شمال غربی- جنوب شرقی (NW-SE)^۴ و سه تراکم ۲۵۰ (کم)، ۳۰۰ (متوسط) و ۳۵۰ (زیاد) بوته در متر مربع بود. میزان بذر لازم برای کاشت بر اساس تراکم های ۲۵۰، ۳۰۰ و ۳۵۰ بوته در متر مربع با توجه به وزن هزار دانه هر رقم تنظیم و سپس بذور با قارچکش کاربوکسین تیرام به نسبت دو در هزار ضدعفونی شدند. این آزمایش در شرایط عدم محدودیت عناصر غذایی، آفات، بیماری ها و علف های هرز انجام شد؛ بنابراین میزان کود مصرفی بر اساس توصیه کودی ۱۵۰ کیلوگرم اوره، ۱۰۰ کیلوگرم سوپر فسفات تریپل و ۱۰۰ کیلوگرم سولفات پتاسیم بود با توجه به اینکه بر اساس نتایج حاصل از آزمایش خاک میزان فسفر قابل جذب ۱۲/۳ قسمت در میلیون و پتاسیم قابل جذب ۴۱۴ قسمت در میلیون

1- North-South

2- East- West

3- North East- South West

4- North West- South East

بود. کودهای فسفره و پتاسه و یک چهارم کود اوره به صورت پایه مصرف و مابقی کود اوره به صورت تقسیط در سه مرحله پنجه‌زنی، ساقه‌دهی و سنبله‌دهی مصرف گردید. علف‌کش کلودینافوپ پروپارزایل (تاپیک) به نسبت یک لیتر در هکتار و تری بنورون متیل (گرانستار) به نسبت ۳۰ گرم در هکتار جهت کنترل علف‌های هرز مصرف شدند. هم‌چنین جهت کنترل بیماری سفیدک سطحی از قارچ‌کش تبوکونازول (فولیکور) به نسبت یک در هزار و جهت کنترل آفت لما از سم ایمیداکلوپراید (کونفیدور) به نسبت یک در هزار در مرحله سنبله‌دهی استفاده شد.

برای اندازه‌گیری وزن خشک از کاشت تا ابتدای فصل بهار به فواصل هر ۱۰ تا ۱۵ روز یک‌بار و از ابتدای بهار هر ۷ تا ۱۰ روز یک‌بار نمونه برداری انجام و برگ‌های سبز، برگ‌های زرد و ریزش یافته، ساقه‌ها، سنبله‌ها و دانه‌ها تفکیک شدند و در دمای ۷۰ درجه سانتی‌گراد تا رسیدن به وزن ثابت درون آون قرار گرفتند و سپس وزن خشک آنها اندازه‌گیری شد. سنجش سطح برگ با استفاده از دستگاه سطح برگ‌سنج مدل DELTA-T صورت گرفت و در هر مرحله، سطح برگ ۱۰ بوته اندازه‌گیری شد. برای سنجش نسبت تشعشع دریافتی از کوادرات با ابعاد ۰/۵×۰/۵ مترمربع استفاده شد. برای این منظور در هر نمونه‌برداری کوادرات را به‌صورت مستقیم در بالای پوشش گیاهی طوری قرار داده شد که پایه‌های آن بین ردیف‌های کاشت قرار می‌گرفت، سپس تعداد مربعات داخل کوادرات که در آنها پوشش گیاهی بیش از ۵۰ درصد بود را شمرده تا از این طریق نسبت پوشش گیاهی بدست آید.

برای محاسبه تشعشع فعال خورشیدی دریافت شده روزانه از برنامه RLY- calc استفاده شد (سلطانی و مداح، ۱۳۸۹). به‌منظور توصیف روند تغییرات شاخص سطح برگ نسبت به روزهای پس از کاشت از معادله لجستیک زیر استفاده شد که بهترین برازش را نسبت به نقاط واقعی اندازه‌گیری شده نشان داد (سلطانی و مداح، ۱۳۷۷).

$$LAI = ((a \times \exp((-a) \times (dap - b) \times c)) \times x) / (1 + \exp((-a) \times (dap - b)))^2 \quad (\text{معادله ۱})$$

در این معادله LAI شاخص سطح برگ، dap روز پس از کاشت و a، b و c ضرایب معادله می‌باشند. برای توصیف وزن خشک در طول زمان از معادله لجستیک ذیل استفاده شد که زمان تا رسیدن به ۵۰ درصد حداکثر ماده خشک و میزان حداکثر ماده خشک تولیدی را نشان می‌دهد (سلطانی و مداح، ۱۳۸۹):

$$Y = DM_{\max} / (1 + \exp(-a * (dap - b))) \quad (\text{معادله ۲})$$

در معادله لجستیک a ضریب معادله، b مدت زمانی که در آن تجمع ماده خشک به ۵۰ درصد حداکثر خود می‌رسد، DM_{\max} حداکثر ماده خشک تولید شده (گرم در متر مربع)، dap روز پس از کاشت و Y تجمع ماده خشک می‌باشد.

کارایی مصرف نور (RUE) با استفاده از رگرسیون بیوماس تجمعی (گرم بر متر مربع) در مقابل تشعشع دریافتی تجمعی (مگاژول بر مترمربع) به صورت شیب خط حاصله تعیین گردید (Soltani *et al.*, 2006)

برای تعیین ضریب خاموشی از معادله زیر استفاده شد.

$$y = 1 - \exp^{(-k_{PAR} \times LAI)} \quad \text{(معادله ۳)}$$

در این معادله y نسبت پوشش گیاهی، K_{PAR} ضریب خاموشی بر پایه تشعشع فعال فتوسنتزی و LAI شاخص سطح برگ می باشد. ضریب خاموشی بدست آمده بر پایه تشعشع فعال فتوسنتزی است (K_{PAR}) که با استفاده از رابطه تجربی اسکوایر (۱۹۹۰) به ضریب خاموشی بر پایه کل تشعشع خورشیدی (K_s) قابل تبدیل است:

$$K_s = 0.75 K_{PAR} \quad \text{(معادله ۴)}$$

تجزیه و تحلیل صفات مورد ارزیابی در این تحقیق با استفاده از نرم افزارهای SAS و MSTATC و رسم نمودارها با استفاده از نرم افزار Excel صورت گرفت (سلطانی، ۱۳۸۶). مقایسه میانگین ها با آزمون LSD در سطح احتمال ۵ درصد انجام شد.

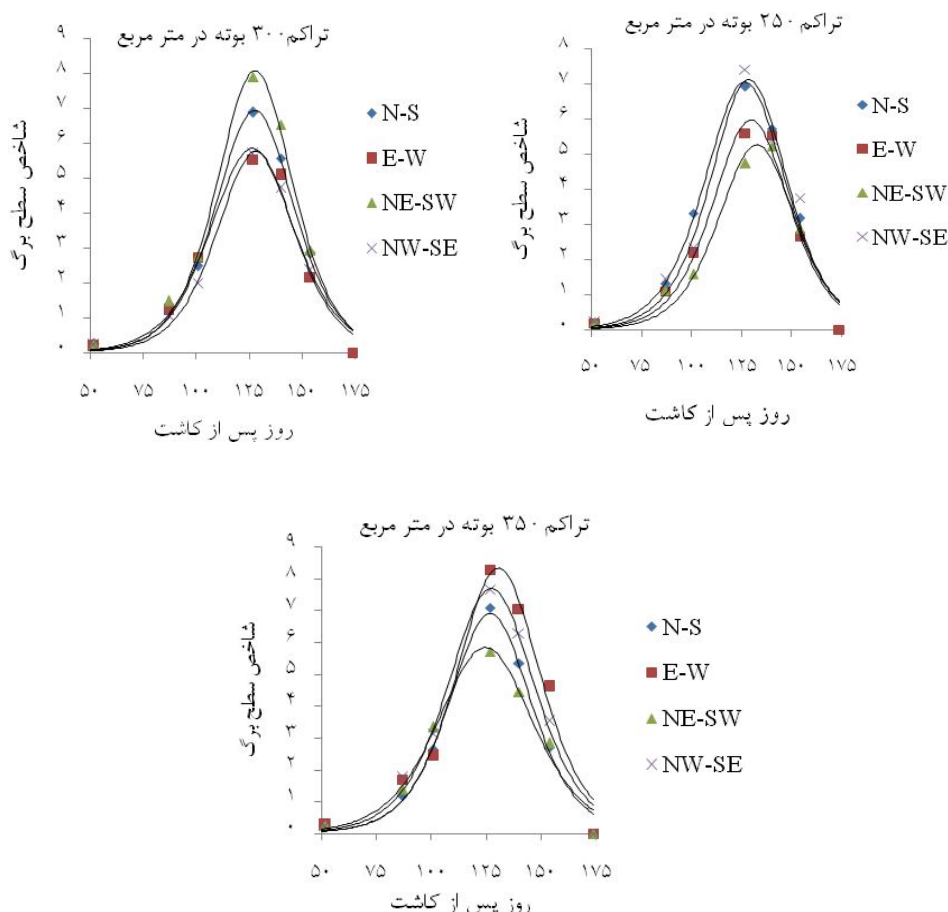
نتایج

به منظور مطالعه تغییرات شاخص سطح برگ نسبت به روزهای پس از کاشت از معادله ۱ که بهترین برازش را بر نقاط اندازه گیری شده نشان داد، استفاده شد. ضرایب معادله برای شاخص سطح برگ برای تراکم و جهت های مختلف کاشت در جدول ۱ نشان داده شده است. بر اساس این جدول، در تراکم ۲۵۰ بوته در مترمربع بین جهت های مختلف کاشت اختلاف معنی داری دیده شد، به گونه ای که جهت شمال غربی - جنوب شرقی بالاترین شاخص سطح برگ (۷/۱۶) و جهت شمال شرقی - جنوب غربی کمترین شاخص سطح برگ (۵/۳۳) را داشت. در تراکم ۳۰۰ بوته در متر مربع جهت کاشت شمال شرقی - جنوب غربی بیشترین شاخص سطح برگ (۸/۰۶) و جهت شرقی - غربی کمترین (۵/۷۵) شاخص سطح برگ را داشت. در تراکم ۳۵۰ بوته در متر مربع جهت کاشت شرقی - غربی با شاخص سطح برگ ۸/۳۳ بالاترین و جهت کاشت شمال شرقی - جنوب غربی کمترین شاخص سطح برگ (۵/۸۳) را داشت.

جدول ۱- ضرایب (a, b و c) معادله پیش‌بینی تغییرات شاخص سطح برگ در زمان (معادله ۱)، تعداد مشاهدات (n)، حداکثر LAI (LAI_{max}) و زمان وقوع آن (T_{max})، خطای استاندارد (SE) و ضریب تبیین (R^2).

تیمار	n	a±SE	b±SE	c±SE	LAI_{max}	T_{max}	R^2
<u>تراکم ۲۵۰ بوته در مترمربع</u>							
شمالی - جنوبی	۷	۰/۰۷۴±۰/۰۰۵	۱۲۶/۷±۱/۴۲	۳۸۱/۸±۲۱/۵۹	۷/۱۰	۱۲۷	۰/۹۹
شرقی - غربی	۷	۰/۰۷۸±۰/۰۰۶	۱۲۹/۷±۱/۸۴	۳۰۶/۷±۲۳/۹۰	۵/۹۵	۱۳۰	۰/۹۹
شمال شرقی - جنوب غربی	۷	۰/۰۷۸±۰/۰۰۹	۱۳۲/۶±۲/۳۰	۲۷۰/۴±۲۷/۵۹	۵/۳۳	۱۳۳	۰/۹۸
شمال غربی - جنوب شرقی	۷	۰/۰۷۸±۰/۰۰۸	۱۲۸/۶±۲/۱۱	۳۶۵/۸±۳۲/۴۷	۷/۱۶	۱۲۹	۰/۹۸
<u>تراکم ۳۰۰ بوته در مترمربع</u>							
شمالی - جنوبی	۷	۰/۰۸±۰/۰۰۵	۱۲۷/۷±۱/۳۳	۳۴۶/۹±۱۹/۶۴	۶/۵۱	۱۳۴	۰/۹۹
شرقی - غربی	۷	۰/۰۷۵±۰/۰۰۶	۱۲۶/۵±۱/۷۴	۳۱۱/۹±۲۱/۹۱	۵/۸۴	۱۲۷	۰/۹۹
شمال شرقی - جنوب غربی	۷	۰/۰۸۳±۰/۰۰۵	۱۲۷/۸±۱/۲۲	۳۸۸/۸±۲۰/۸۴	۸/۰۶	۱۲۸	۰/۹۹
شمال غربی - جنوب شرقی	۷	۰/۰۸۱±۰/۰۰۵	۱۲۸/۲±۱/۲۸	۲۸۴/۳±۱۵/۷۰	۵/۷۵	۱۲۸	۰/۹۹
<u>تراکم ۳۵۰ بوته در مترمربع</u>							
شمالی - جنوبی	۷	۰/۰۸±۰/۰۰۴	۱۲۶/۹±۱/۰۵	۳۴۵/۱±۱۵/۶۵	۶/۹۰	۱۲۷	۰/۹۹
شرقی - غربی	۷	۰/۰۷۸±۰/۰۰۷	۱۳۰/۶±۲	۴۲۶/۹±۳۶/۶۱	۸/۳۳	۱۳۱	۰/۹۹
شمال شرقی - جنوب غربی	۷	۰/۰۶۹±۰/۰۰۶	۱۲۴/۷±۱/۷۰	۳۳۸/۳±۲۱/۸۶	۵/۸۳	۱۲۵	۰/۹۹
شمال غربی - جنوب شرقی	۷	۰/۰۷۵±۰/۰۰۵	۱۲۷/۴±۱/۵۱	۴۱۰±۲۵/۱۰	۷/۶۸	۱۲۷	۰/۹۹

روند افزایشی شاخص سطح برگ در همه تراکم‌ها تا مرحله سنبله‌دهی و آغاز مرحله گرده‌افشانی در جهت‌های کاشت مختلف ادامه داشت و پس از آن به علت زرد شدن و ریزش برگ‌های پایین بوته، به‌واسطه سایه‌اندازی و انتقال مجدد مواد از برگ‌ها به دانه‌ها در دوره پر شدن دانه کاهش یافت (شکل ۱).



شکل ۱- تغییرات شاخص سطح برگ در زمان در تراکم‌ها و جهت‌های مختلف کاشت

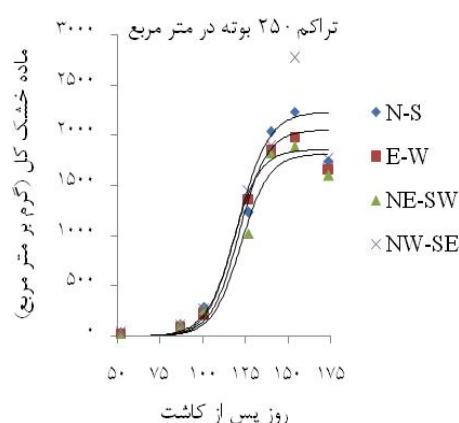
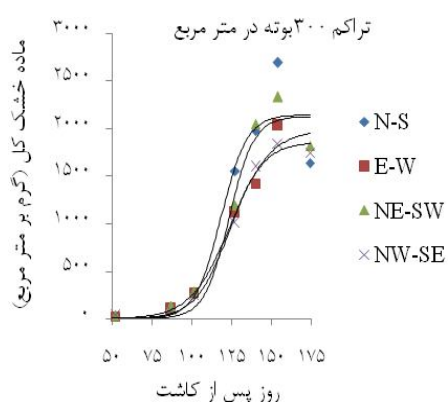
۱- جهت کاشت شمالی- جنوبی، E-W: جهت کاشت شرقی- غربی،

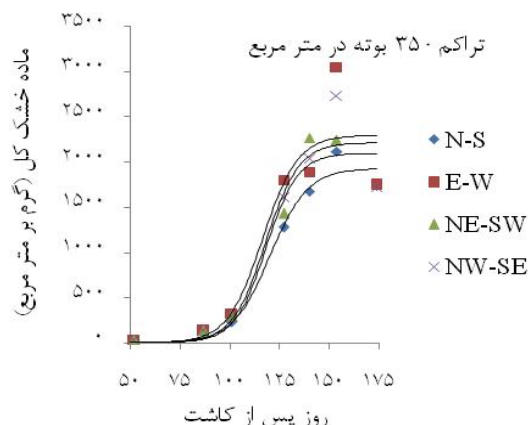
NE-SW: جهت کاشت شمال شرقی- جنوب غربی و NW-SE: جهت کاشت شمال غربی- جنوب شرقی

استفاده از معادله لجستیک ۲ که با هدف محاسبه زمان حصول ۵۰ درصد عملکرد ماده خشک و حداکثر ماده خشک تولیدی استفاده شد توصیف خوبی از تجمع ماده خشک به دست داد به نحوی که ضرایب تبیین همگی بزرگتر از ۰/۹۷ بودند (جدول ۲). در مراحل اولیه رشد این انباشته شدن وزن خشک در روز اندک است ولی با گذشت زمان، به طور خطی افزایش پیدا می‌کند و با وارد شدن به مرحله گلدهی، این افزایش وزن خشک کند و آهسته می‌گردد. با افزایش تراکم، مقدار تجمع ماده خشک اضافه می‌گردد (شکل ۲).

جدول ۲- ضرایب معادله لجستیک جهت پیش‌بینی تجمع ماده خشک در مقابل زمان برای تیمارهای مختلف آزمایش، n تعداد نمونه برداری، a ضریب معادله، b مدت زمانی که تجمع ماده خشک به ۵۰ درصد حداکثر خود می‌رسد، DM_{max} حداکثر ماده خشک تولید شده (گرم در مترمربع)، (SE) ، خطای استاندارد و R^2 ضریب تبیین هستند.

تیمار	n	$a \pm SE$	$b \pm SE$	$DM_{max} \pm SE$	R^2
تراکم ۲۵۰ بوته در مترمربع					
شمالی - جنوبی	۷	0.122 ± 0.056	121.4 ± 4.55	$20.53/4 \pm 174/3$	۰/۹۸
شرقی - غربی	۷	0.127 ± 0.031	117.7 ± 4.20	$18.56/8 \pm 94/21$	۰/۹۹
شمال شرقی - جنوب غربی	۷	0.121 ± 0.053	122.4 ± 4.10	$18.15/2 \pm 146/3$	۰/۹۹
شمال غربی - جنوب شرقی	۷	0.111 ± 0.069	120.8 ± 7.24	$22.32/6 \pm 296/9$	۰/۹۷
تراکم ۳۰۰ بوته در مترمربع					
شمالی - جنوبی	۷	0.123 ± 0.076	118.3 ± 7.88	$21.45/4 \pm 274/7$	۰/۹۷
شرقی - غربی	۷	0.08 ± 0.018	124.4 ± 3.57	$19.85/2 \pm 142/5$	۰/۹۹
شمال شرقی - جنوب غربی	۷	0.129 ± 0.069	123.3 ± 4.20	$21.27/6 \pm 186/4$	۰/۹۸
شمال غربی - جنوب شرقی	۷	0.095 ± 0.016	123.5 ± 2.13	$18.56/8 \pm 80.19$	۰/۹۹
تراکم ۳۵۰ بوته در مترمربع					
شمالی - جنوبی	۷	0.106 ± 0.03	124.4 ± 3.57	$19.25/9 \pm 142/5$	۰/۹۹
شرقی - غربی	۷	0.114 ± 0.078	116.5 ± 9.84	$22.94 \pm 357/3$	۰/۹۷
شمال شرقی - جنوب غربی	۷	0.126 ± 0.055	118.2 ± 5.40	$20.94 \pm 182/2$	۰/۹۸
شمال غربی - جنوب شرقی	۷	0.120 ± 0.068	118 ± 7.34	$22.11 \pm 263/5$	۰/۹۷





شکل ۲- تغییرات تجمع ماده خشک در زمان در تراکم‌ها و جهت‌های مختلف کاشت N-S: جهت کاشت شمالی - جنوبی، E-W: جهت کاشت شرقی - غربی، NE-SW: جهت کاشت شمال شرقی - جنوب غربی و NW-SE: جهت کاشت شمال غربی - جنوب شرقی

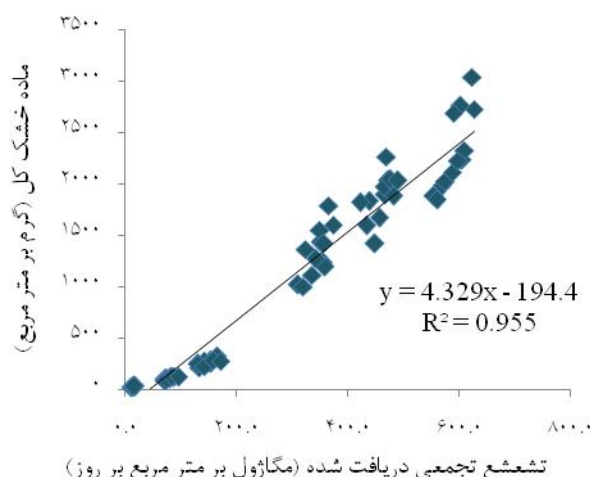
جدول ۳- تخمین مقدار ضریب خاموشی (K) از معادله $y = 1 - \exp(-k_{PAR} \times LAI)$ در تراکم‌ها و جهت‌های مختلف کاشت. n، تعداد نمونه؛ K_{PAR} ، ضریب خاموشی بر اساس تشعشع فعال فتوسنتزی و R^2 ، ضریب تبیین هستند.

تیما	n	$\pm SE$	K_{PAR}	R^2
تراکم ۲۵۰ بوته در مترمربع				
شمالی - جنوبی	۱۷	$\pm ۰/۰۶۹$	۰/۶۳	۰/۹۶
شرقی - غربی	۱۷	$\pm ۰/۰۷۱$	۰/۶۳	۰/۹۴
شمال شرقی - جنوب غربی	۱۷	$\pm ۰/۰۶۷$	۰/۸۶	۰/۹۷
شمال غربی - جنوب شرقی	۱۷	$\pm ۰/۰۵۷$	۰/۶۱	۰/۹۵
تراکم ۳۰۰ بوته در مترمربع				
شمالی - جنوبی	۱۷	$\pm ۰/۰۶۱$	۰/۴۸	۰/۸۹
شرقی - غربی	۱۷	$\pm ۰/۰۷۸$	۰/۵۲	۰/۹۰
شمال شرقی - جنوب غربی	۱۷	$\pm ۰/۰۹۳$	۰/۶۴	۰/۹۲
شمال غربی - جنوب شرقی	۱۷	$\pm ۰/۰۷۰$	۰/۸۷	۰/۹۸
تراکم ۳۵۰ بوته در مترمربع				
شمالی - جنوبی	۱۷	$\pm ۰/۰۴۸$	۰/۵۱	۰/۹۵
شرقی - غربی	۱۷	$\pm ۰/۰۸۱$	۰/۸۰	۰/۹۶
شمال شرقی - جنوب غربی	۱۷	$\pm ۰/۰۹۳$	۰/۶۴	۰/۹۲
شمال غربی - جنوب شرقی	۱۷	$\pm ۰/۰۸۲$	۰/۶۰	۰/۹۴

در تراکم ۳۰۰ بوته در مترمربع جهت شمالی- جنوبی بالاترین RUE ($4/88 \pm 0/33$) و جهت شرقی- غربی کمترین میزان RUE ($3/63 \pm 0/19$) را داشتند. در تراکم ۳۵۰ بوته در متر مربع جهت شرقی- غربی بیشترین RUE ($5/07 \pm 0/48$) و جهت شمالی- جنوبی کمترین RUE ($3/92 \pm 0/24$) را دارا بود (جدول ۴). متوسط RUE در این آزمایش ۴/۲۵ گرم بر مگاژول بر اساس تشعشع فعال فتوسنتزی بود (شکل ۳).

جدول ۴- ضرایب معادله توصیف کننده $(y = a + bx)$ تجمع ماده خشک (گرم در متر مربع) در مقابل تشعشع دریافت شده تجمعی (مگاژول در متر مربع). n، تعداد نمونه؛ RUE، شیب خط (کارایی استفاده از تشعشع بر حسب گرم بر مگاژول)، SE، خطای استاندارد و R^2 ، ضریب تبیین هستند.

تیمار	n	$a \pm SE$	$RUE \pm SE$	R^2
<u>تراکم ۲۵۰ بوته در متر مربع</u>				
شمالی- جنوبی	۶	$-180/52 \pm 123/95$	$4/17 \pm 0/35$	۰/۹۷
شرقی- غربی	۶	$-123/12 \pm 133/04$	$4/04 \pm 0/40$	۰/۹۹
شمال شرقی- جنوب غربی	۶	$-24/125 \pm 125/14$	$3/90 \pm 0/39$	۰/۹۶
شمال غربی- جنوب شرقی	۶	$-258/84 \pm 113/20$	$4/81 \pm 0/32$	۰/۹۸
<u>تراکم ۳۰۰ بوته در متر مربع</u>				
شمالی- جنوبی	۶	$-247/13 \pm 116/95$	$4/88 \pm 0/33$	۰/۹۸
شرقی- غربی	۶	$-131/99 \pm 64/38$	$3/63 \pm 0/19$	۰/۹۹
شمال شرقی- جنوب غربی	۶	$-205/49 \pm 124/64$	$4/25 \pm 0/35$	۰/۹۷
شمال غربی- جنوب شرقی	۶	$-123/29 \pm 73/35$	$3/63 \pm 0/23$	۰/۹۸
<u>تراکم ۳۵۰ بوته در متر مربع</u>				
شمالی- جنوبی	۶	$-154/18 \pm 82/01$	$3/92 \pm 0/24$	۰/۹۹
شرقی- غربی	۶	$-278/54 \pm 176/72$	$5/07 \pm 0/48$	۰/۹۶
شمال شرقی- جنوب غربی	۶	$-178/28 \pm 176/72$	$4/42 \pm 0/50$	۰/۹۵
شمال غربی- جنوب شرقی	۶	$-263/38 \pm 127/39$	$4/73 \pm 0/34$	۰/۹۸



شکل ۳- رابطه بین ماده خشک کل و تشعشع تجمعی دریافت شده، شیب خط نشان‌دهنده کارایی استفاده از تشعشع (گرم بر مگاژول) می‌باشد.

بحث و نتیجه‌گیری

افزایش شاخص سطح برگ با جذب تشعشع ارتباط بسیار نزدیک و مثبتی دارد و تا رسیدن به شاخص سطح برگ بحرانی (جذب حدود ۹۵ درصد نور خورشید توسط کانوپی) ادامه پیدا می‌کند لذا انجام فرآیند فتوسنتز و در نتیجه تولید ماده خشک گیاه وابسته به سطح برگ بوده و برای افزایش ماده خشک گیاه باید شاخص سطح برگ را افزایش داد. یکی از راه‌های افزایش شاخص سطح برگ، افزایش تراکم بوته می‌باشد. با افزایش تراکم در جهت‌های مختلف کاشت شاخص سطح برگ سیر صعودی داشت و حداکثر شاخص سطح برگ در تراکم ۳۵۰ بوته در متر مربع و در جهت شرقی- غربی بود که با نتایج عبدال مکسود (Adb El-Maksoud, 2008) مطابقت داشت. پادان و همکاران (Pathan *et al.*, 2005) بیان داشتند که در جهت شرقی- غربی تشعشع دریافتی ۴۵ الی ۵۸ درصد بیشتر از سایر جهات بود که این امر به دلیل سطح برگ بیشتر در این جهت می‌باشد. در تراکم بالا، به علت افزایش تعداد بوته، تعداد برگ زیاد شده و منجر به افزایش شاخص سطح برگ شد.

زمان حادث شدن حداکثر شاخص سطح برگ در تراکم‌های مختلف در این مطالعه منطبق بر شروع گرده‌افشانی بود که برابر با ۱۰۹۸ درجه روز رشد بود. این نتایج با نتایج سعادتیان و همکاران (سعادتیان و همکاران، ۱۳۹۰) مطابقت داشت در صورتی که مورینن (Muurinen *et al.*, 2006) زمان رسیدن به حداکثر شاخص سطح برگ در گندم را قبل از مرحله سنبله‌دهی گزارش کرد. متوسط

شاخص سطح برگ در این تحقیق ۶/۶۷ بود. این مقدار به‌طور معنی‌داری از مقدار ۴/۵ که توسط مداح یزدی (مداح یزدی، ۱۳۸۵) گزارش شده، بیشتر بود.

دلیل افزایش میزان تجمع ماده خشک با افزایش تراکم را می‌توان به دلیل بالا بودن تعداد بوته در واحد سطح و در نهایت افزایش میزان شاخص سطح برگ ذکر کرد. سید شریفی و همکاران (Seyed Sharifi et al., 2011) نتایج مشابهی را گزارش کردند. اختلاف ارقام از نظر مدت زمان لازم برای رسیدن ماده خشک به ۵۰ درصد حداکثر خود معنی‌دار نبود اما بین تراکم‌ها و جهت‌های مختلف کشت اختلاف معنی‌داری مشاهده شد (جدول ۲) به‌نحوی که در تراکم ۲۵۰ بوته در متر مربع، جهت شمال‌غربی - جنوب‌شرقی بیشترین ماده خشک تجمعی را داشت ($2232/6 \pm 296/9$ گرم بر متر مربع). در تراکم ۳۰۰ بوته در مترمربع اختلاف معنی‌داری بین جهت‌های کاشت مشاهده نشد درحالی‌که در تراکم ۳۵۰ بوته در مترمربع جهت کاشت شرقی - غربی بیشترین تجمع ماده خشک را داشت ($2294 \pm 357/3$ گرم بر مترمربع). منعم و همکاران (Monem et al., 2012) و هوزاین و همکاران (Hozayn et al., 2012) نیز نتایج مشابهی را گزارش کردند. علت این امر افزایش شاخص سطح برگ و مقدار تشعشع دریافت شده در طول دوره رشد و کارآیی گیاه در تبدیل تشعشع دریافتی ذکر شده است (Yano et al., 2007). کاترین و همکاران (Catherine et al., 2010) و پادان و همکاران (Pathan et al., 2005) بیان داشتند که دریافت تشعشع فعال فتوسنتزی به‌وسیله کانوپی گیاهی در جهت شرقی - غربی به‌ترتیب ۱۸ الی ۲۸ درصد و ۴۵ الی ۸۵ درصد افزایش می‌یابد. روند تغییرات ماده خشک جهت‌های مختلف کاشت در شکل ۲ نشان داده شده است. چنانچه مشاهده می‌شود تشکیل ماده خشک در جهت‌های مختلف کاشت به‌عنوان معیاری از میزان تولید، از یک منحنی غیر خطی در همه‌ی تراکم‌ها تبعیت می‌کند. به‌طور کلی در اوایل رشد گیاه با توجه به دماهای پایین و همچنین عدم پوشش گیاهی کامل برای دریافت تشعشع خورشیدی، افزایش اولیه ماده خشک کم می‌باشد. به‌علاوه، گیاه جهت ریشه‌دهی بهتر، مواد بیشتری به ریشه اختصاص می‌دهد (Tambussi et al., 2005).

در مراحل اولیه رشد از نظر ماده خشک تجمعی اختلاف زیادی بین جهت‌های مختلف کاشت دیده نشد که این امر می‌تواند به دلیل عدم تفاوت قابل ملاحظه در سطح برگ در مراحل اولیه رشدی باشد. اختلاف در روند ماده خشک تجمعی بین جهت‌های مختلف کاشت حدوداً ۱۰۰ روز پس از کاشت تقریباً در زمان ساقه‌دهی مشاهده شد. اختلاف در ماده خشک بین جهت‌های مختلف کاشت در همه تراکم‌ها از مرحله ساقه‌دهی شروع شد و تا انتهای فصل رشد ادامه یافت (شکل ۲). در غلات افزایش ماده خشک بخش‌های هوایی گیاه رابطه مستقیمی با شاخص سطح برگ و ارتفاع گیاه تا مرحله گلدهی دارد (امام، ۱۳۸۶) و معمولاً حداکثر وزن خشک تقریباً ۱۰ تا ۱۵ روز قبل از بلوغ کامل به‌دست می‌آید.

و سپس یک کاهش جزئی حادث می‌شود که در این آزمایش به دلیل اینکه وزن خشک اجزای ریخته شده هم در محاسبات اعمال شد کاهش در وزن خشک مشاهده نشد (شکل ۲).

معادله ۳ به خوبی تغییرات پوشش گیاهی را در مقابل LAI توجیه کرد. بین ارقام از نظر K_{PAR} به دست آمده اختلاف معنی‌داری وجود نداشت اما تراکم‌ها و جهت‌های مختلف کاشت اختلاف معنی‌داری از نظر K_{PAR} نشان دادند. در تراکم کم جهت‌های مختلف کاشت از نظر K_{PAR} اختلاف معنی‌داری نداشتند ولی در تراکم متوسط جهت شمال‌غربی - جنوب‌شرقی نسبت به سایر جهات K_{PAR} بیشتری داشت (۰/۸۷) و در تراکم زیاد جهت شرقی - غربی بیشترین (۰/۸۰) و جهت شمالی - جنوبی کمترین (۰/۵۱) K_{PAR} را داشتند. مقدار K_{PAR} بین $۰/۴۷ \pm ۰/۰۶۱$ در جهت شمالی جنوبی و در تراکم متوسط (۳۰۰ بوته در مترمربع) تا $۰/۸۷ \pm ۰/۰۷۰$ در جهت شمال‌غربی - جنوب‌شرقی در همین تراکم متغیر بود (جدول ۳). متوسط K_{PAR} برای جهت‌های مختلف کاشت در سطوح تراکم $۰/۶۳ \pm ۰/۰۷$ بود (شکل ۳). این مقدار با مقدار گزارش شده توسط زند و همکاران (زند و همکاران، ۱۳۸۱) و مورین و پلتونن ساینیو (Muurinen and Peltonen-Sainio, 2006) مطابقت داشت.

مدل رگرسیونی خطی ساده رابطه بین تشعشع تجمعی دریافت شده و بیوماس تجمعی از کاشت تا رسیدگی را با ضرایب تبیین (R^2) بالاتر از ۰/۹۵ به‌خوبی توصیف کرد (جدول ۴). RUE به‌دست آمده برای تراکم‌ها و جهت‌های مختلف کاشت تفاوت معنی‌داری با هم داشتند اما بین ارقام گندم تفاوت معنی‌داری مشاهده نشد. اثر متقابل تراکم و جهت کاشت بر RUE معنی‌دار بود به‌طوری‌که در تراکم ۲۵۰ بوته در متر مربع، جهت شمال‌غربی - جنوب‌شرقی بیشترین RUE ($۴/۸۱ \pm ۰/۳۲$) و جهت شمال‌شرقی - جنوب‌غربی کمترین میزان RUE را داشت.

مقدار RUE محاسبه شده برای گندم در این تحقیق از مقادیر ۴/۲ - ۱/۸ گزارش شده توسط اولسن و همکاران (Olesen *et al.*, 2002) و ۲/۰۶ الی ۲/۹۰ توسط گوینتا و همکاران (Giunta *et al.*, 2009) بیشتر بود اما از ۴/۶۳ که توسط مداح‌یزدی (Maddah yazdi, 2007) گزارش شده کمتر بود. علت بالا بودن بیش از حد مقادیر محاسبه شده کارایی مصرف نور برای گندم در این تحقیق نسبت به مقادیر گزارش شده توسط سایر محققین به‌علت تخمین این پارامتر در شرایط تشعشع پراکنده می‌باشد. یکی از عواملی که باعث تغییر راندمان مصرف نور در کانوپی می‌شود، بخشی از تشعشع است که به صورت مستقیم به کانوپی می‌رسد. اگر تشعشع بالای کانوپی عمده‌تاً از نوع پراکنده باشد راندمان مصرف نور کانوپی بالاتر است. این امر به دلیل این است که نور پراکنده یکنواختی و توزیع کارآمدتری بر روی برگ‌های بالغ کانوپی دارد. زمانی که پرتواندازی بر روی کانوپی از نوع پراکنده باشد معمولاً میزان تشعشع کم بوده لذا کمیت نور نفوذ کرده با وجود بالا بودن راندمان مصرف نور کم است. در اکثر موارد عامل غالب مؤثر بر راندمان مصرف نور، میزان تشعشع پراکنده است (Sedigh and benayan, 1995).

نتایج سینکلر و ماکو (Sinclair and Muchow, 1999) و استرلینگ و همکاران (Stirling et al., 1990) دلیلی بر این ادعا است.

منابع

- امام، ی. ۱۳۸۶. زراعت غلات. انتشارات دانشگاه شیراز. ۱۹۰ صفحه.
- زند، ا.، کوچکی ع.، رحیمیان مشهدی، ح.، و نصیری، م. ۱۳۸۱. بررسی روند تغییرات ۵۰ ساله خصوصیات مرفولوژیک و فیزیولوژیک در برخی از گندم‌های ایرانی. مجله علوم کشاورزی و منابع طبیعی گرگان. ۱۶(۱): ۱۶۱-۱۷۱.
- سعادتیان، ب.، احمدوند، گ.، و سلیمانی، ف. ۱۳۹۰. ارزیابی شاخص‌های رشد و عملکرد دو رقم گندم (*Triticum aestivum* L.) در رقابت با علف‌های هرز چاودار (*Secale cereale* L.) و خردل وحشی (*Sinapis arvensis* L.). نشریه بوم‌شناسی کشاورزی. ۳(۴): ۴۶۷-۴۵۴.
- سلطانی، ا. ۱۳۸۶. کاربرد نرم‌افزار SAS در تجزیه‌های آماری (برای رشته‌های کشاورزی). انتشارات جهاد دانشگاهی مشهد. ۱۸۲ صفحه.
- سلطانی، ا.، و مداح، و. ۱۳۸۹. برنامه‌های کاربردی ساده برای آموزش و پژوهش در زراعت. انتشارات نیاک. ۷۸ صفحه.
- صدیق، م.، و بنایان، م. ۱۳۷۳. در ترجمه مدل‌سازی فتوسنتز گیاهان زراعی. انتشارات جهاد دانشگاهی مشهد. ۱۵۷ صفحه.
- مداح یزدی، و. ۱۳۸۵. فیزیولوژی مقایسه‌ای رشد، نمو و تشکیل عملکرد بین گندم و نخود. پایان‌نامه کارشناسی ارشد زراعت. دانشگاه علوم کشاورزی و منابع طبیعی گرگان. ۸۰ صفحه.
- ناصرعلوی، م. ۱۳۸۱. بررسی اثر جهت و تراکم‌های مختلف کاشت و خصوصیات رشد و عملکرد سورگوم در منطقه کرمان. پایان‌نامه کارشناسی ارشد. دانشگاه تهران. ۱۶۰ صفحه.
- Adb El-Maksoud M.F. 2008. Effect of row direction and plant arrangement on growth, yield and yield components of two maize cultivars. Journal of applied Sci. Res. 4:1182-1190.
- Carretero R., Serrago R.A., Bancal M.O., Perello A.E., Miralles D.J. 2010. Absorbed radiation and radiation use efficiency as affected by foliar diseases in relation to their vertical position into the canopy in wheat. Field Crop Res. 116: 184-195.
- Catherine P.D., Borger A.H., Phathan Sh. 2010. Manipulating crop row orientation to suppress weeds and increase crop yield. Weed Sci. 58:174-178.
- Eriksson, H., Eklundh, L., Hall, K., Lindroth, A. 2005. Estimating LAI in deciduous forest stands. Agricultural and Forest Meteorology. 129: 27-37.

- Giunta F., Pruneddu G., Motzo R. 2009. Radiation interception, biomass and nitrogen accumulation in different cereal and grain legume species. *Field Crops Rese.* 110: 76-84.
- Hammer G.L., Sinclair T.R., Boote K.J., Wright G.C., Meinke H., Bell M.J. 1995. A peanut simulation model: I. Model development and testing. *Agro. Journal.* 87: 1085-1093.
- Hozayn M., Tarek, A.E., Ghafar, E.S., Sharara, A. 2012. Implication of crop row orientation and row spacing for controlling weeds and increasing yield in wheat. *Field Crops Res.* 6: 422-427.
- Li Q., Chen Y., Liu M., Zhou X., Yu S., Guo Ch. 2012. Effect of irrigation to winter wheat on the radiation use efficiency and yield of summer maize in a double cropping System. *Scientific World Journal*, 47627: 1- 6.
- Monem R., Mirtaheri M.S., Ahmadi A. 2012. Investigation of row orientation and planting date on yield and yield components of mung bean. *Annals of Biological Rec.* 3: 1764-1767.
- Muurinen S., Peltonen-Sainio P. 2006. Radiation-use efficiency of modern and old spring cereal cultivars and its response to nitrogen in northern growing conditions. *Field Crops Rese.* 96: 363–373.
- Olesen J.E., Berntsen J., Hansen E.M., Petersen B.M., Petersen J. 2002. Crop nitrogen demand and canopy area expansion in winter wheat during vegetative growth. *European Journal of Agronomy.* 16: 279–294.
- Pathan S., Hashem A., Borger C. 2005. Crop row orientation induced photo-sensory effect on the competitive interactions of crops and weeds. *Fifteenth Australian Weeds Conference.* 15:351-354.
- Power J.F., Wills W.O., Grunes D.L., Reichman G.A. 1967. Effect of soil temperature, phosphorus, and plant age on growth analysis of barley. *Agro. J.* 59: 231-234.
- Robertson M.J., Carberry P.S., Huth N.I., Turpin J.E., Probert M.E., Poulton P.L., Bell M., Wright G.C., Yeates S.J., Brinsmead R.B. 2002. Simulation of growth and development of diverse legume species in APSIM. *Aust. J. Agric. Res.* 53: 429-446.
- Rudorff B.F., Muich T., Daughtry C.L., Lee E.H. 1996. Growth, radiation use efficiency, and canopy reflectance of wheat and corn grown under elevated ozone and carbon dioxide atmospheres. *Remote Sensing of Environ.* 55:163-173.
- Seyed Sharifi R., Bigonah Hamabad H., Azimi, J. 2011. Plant population influence on the physiological indices of wheat (*Triticum aestivum* L.) cultivars. *J. Plant Sci.* 2(5): 137-142.
- Sinclair T.R. 1986. Water and nitrogen limitations in soybean grain production: I. Model development. *Field Crops Res.* 15: 125-141.

- Sinclair T.R., Muchow R.C. 1999. Radiation use efficiency. A Review. *Advances in Agronomy* 65: 215-265.
- Soltani A., Robertson M.J., Manschdi A.M. 2006. Modeling chickpea growth and development: Nitrogen accumulation and use. *Field Crop*
- Stirling C.M., Williams J.H., Black C.R., Ong C.K. 1990. The effect of timing of shade on development, dry matter production and light use efficiency in groundnut (*Arachis hypogaea* L.) under field condition. *Aus. J. Agric. Res.* 41: 633-644.
- Tambussi E.A., Ogues, S.N., Ferrio P., Voltas J., Araus J.L. 2005. Does higher yield potential improve barley performance in Mediterranean condition? *Field Crop Res.* 91: 149-160.
- Yano T., Aydin M., Haraguchi T. 2007. Impact of climate change on irrigation demand and crop growth in a Mediterranean environment of Turkey. *Sensors.* 7: 2297-2315.
- Yin X., Gouadrain J., Latinga E.A., Vos J., Spierts J.H. 2003. A flexible sigmoid growth functions of determinate growth. *Ann. Bot.* 91: 361-371.
- Zhang L., Van der Werf W., Bastiaans L., Zhang S., Li B., Spiertz, J.H.J. 2008. Light interception and utilization in relay intercrops of wheat and cotton. *Field Crops Res.* 107: 29-42.
- Zhang Y., Tang Q., Zou Y., Li D., Qin J., Yang S., Chen L., Xia B., Peng, S. 2009. Yield potential and radiation use efficiency of “super” hybrid rice grown under subtropical conditions. *Field Crops Research* 114: 91–98.

